

散乱の波動関数は,

$$\psi(\mathbf{r}) = e^{ikz} + \int G_0(\mathbf{r} - \mathbf{r}') \frac{2m}{\hbar^2} V(r') \psi(\mathbf{r}') d\mathbf{r}' \quad (0.0.1)$$

と表されるのであった。この波動関数を厳密に求めることは困難であるため近似をする。まず、式 (??) を簡略化して、

$$\psi(\mathbf{r}) = \psi_0 + \int gV\psi(\mathbf{r}') d\mathbf{r}' \quad (0.0.2)$$

と表現する。ただし、

$$g := G_0 \frac{2m}{\hbar} \quad (0.0.3)$$

である。式 (??) を再帰的に代入すると、

$$\psi(\mathbf{r}) = \psi_0 + \int gV\psi(\mathbf{r}') d\mathbf{r}' \quad (0.0.4)$$

$$= \psi_0 + \int gV \left( \psi_0 + \int gV\psi(\mathbf{r}'') d\mathbf{r}'' \right) d\mathbf{r}' \quad (0.0.5)$$

$$= \psi_0 + \int gV\psi_0(\mathbf{r}') d\mathbf{r}' + \iint gVgV\psi(\mathbf{r}'') d\mathbf{r}' d\mathbf{r}'' \quad (0.0.6)$$

$$= \psi_0 + \int gV\psi_0(\mathbf{r}') d\mathbf{r}' + \iint gVgV\psi_0(\mathbf{r}'') d\mathbf{r}' d\mathbf{r}'' + \iiint gVgVgV\psi_0(\mathbf{r}''') d\mathbf{r}' d\mathbf{r}'' d\mathbf{r}''' + \dots \quad (0.0.7)$$

を得る。これを第 1 項までで近似する。これは散乱の波動関数を平面波で近似することに相当する。つまり、

$$\psi \simeq \psi_0 \quad (0.0.8)$$

とする。これを **第 1 Born 近似** という<sup>12</sup>。

Born 近似を用いて散乱振幅を求める。 $\psi(\mathbf{r}') = e^{ikz} = e^{i\mathbf{k} \cdot \mathbf{r}'}$  だから、

$$f^{(1)}(\theta) = -\frac{1}{4\pi} \int e^{i\mathbf{k}' \cdot \mathbf{r}'} \frac{2m}{\hbar} V(r') \psi(\mathbf{r}') d\mathbf{r}' \quad (0.0.9)$$

$$= -\frac{1}{4\pi} \frac{2m}{\hbar^2} \int e^{-i(\mathbf{k}' - \mathbf{k}) \cdot \mathbf{r}'} V(r') d\mathbf{r}' \quad (0.0.10)$$

$$= -\frac{1}{4\pi} \frac{2m}{\hbar^2} \int e^{-i\mathbf{q} \cdot \mathbf{r}'} V(r') d\mathbf{r}' \quad (0.0.11)$$

となる。ただし、散乱による運動量変化を  $\mathbf{q} := \mathbf{k}' - \mathbf{k}$  と定義した。式 (??) を見ると、散乱振幅はポテンシャル  $V(r')$  の Fourier 変換から得られることがわかる<sup>3</sup>。また、球対称ポテンシャルのとき式 (??) は簡略化できて、

$$f^{(1)}(\theta) = -\frac{1}{4\pi} \frac{2m}{\hbar^2} \int e^{-i\mathbf{q} \cdot \mathbf{r}'} V(r') d\mathbf{r}' \quad (0.0.12)$$

$$= -\frac{1}{4\pi} \frac{2m}{\hbar^2} 2\pi \iint e^{-iqr' \cos \theta'} V(r') r'^2 \sin \theta' d\theta' dr' \quad (0.0.13)$$

$$= -\frac{m}{\hbar^2} \int r'^2 dr' V(r') \left[ \frac{e^{-iqr' \cos \theta}}{iqr'} \right]_{\cos \theta=1}^{\cos \theta=-1} \quad (0.0.14)$$

$$= -\frac{m}{\hbar^2} \int r'^2 dr' \frac{2i \sin qr'}{iqr'} V(r') \quad (0.0.15)$$

$$= -\frac{2m}{\hbar^2 q} \int rV(r) \sin qr dr \quad (0.0.16)$$

<sup>1</sup>Max Born(1882-1970)

<sup>2</sup>砂川, 散乱の量子論, 「第 1Born 近似がとくによく利用される理由は、何といてもその簡単さにある。したがって、ある散乱問題を手がけたとき、だれもが最初に試してみるのが、この近似である。そして思わしい結果がえられないとき、他の近似法を考えるのである。」

<sup>3</sup> $f^{(n)}$  は第  $n$ Born 近似による散乱振幅を意味する。

となる。

球対称ポテンシャルの散乱振幅

$$f^{(1)}(\theta) = -\frac{2m}{\hbar^2 q} \int_0^\infty r V(r) \sin qr \, dr \quad (0.0.17)$$

### 例題 0.1: 湯川ポテンシャル

湯川ポテンシャル

$$V(r) = V_0 \frac{e^{-\mu r}}{\mu r} \quad (0.0.18)$$

による散乱を考える<sup>a</sup>。これは、 $V(r)$  の到達距離が  $\frac{1}{\mu}$  ほどであり、核子同士に働く力を表す。物質中では、伝導電子に遮蔽された不純物の Coulomb ポテンシャルを表す。 $\mu = 1, 2$  及び Coulomb ポテンシャルのグラフを図??に示す。このポテンシャルの下で散乱振幅を求める。

$$f^{(1)}(\theta) = -\frac{1}{4\pi} \frac{2m}{\hbar^2} \iiint e^{-iqr' \cos \theta'} V(r') r'^2 \sin \theta' \, dr' \, d\theta' \, d\phi' \quad (0.0.19)$$

$$= -\frac{1}{4\pi} \frac{2m}{\hbar^2} 2\pi \int_0^\infty \left( \frac{e^{iqr'} - e^{-iqr'}}{iqr'} \right) V(r') r'^2 \, dr' \quad (0.0.20)$$

$$= -\frac{mV_0}{i\hbar^2 q\mu} \int_0^\infty \left[ e^{(-\mu+iq)r'} - e^{(-\mu-iq)r'} \right] \, dr' \quad (0.0.21)$$

$$= -\frac{2mV_0}{\hbar^2 \mu} \frac{1}{\mu^2 + q^2} \quad (0.0.22)$$

よって散乱断面積は

$$\sigma^{(1)}(\theta) = \left| f^{(1)}(\theta) \right|^2 \quad (0.0.23)$$

$$= \left( \frac{2mV_0}{\hbar^2 \mu} \right)^2 \frac{1}{(\mu^2 + q^2)^2} \quad (0.0.24)$$

$$= \left( \frac{2mV_0}{\hbar^2 \mu} \right)^2 \frac{1}{(\mu^2 + 4K^2 \sin^2 \theta/2)^2} \quad (0.0.25)$$

である。ここで、 $k'$  と  $k$  のなす角が  $\theta$  であるため  $q = 2k \sin \theta/2$  であることを用いた。

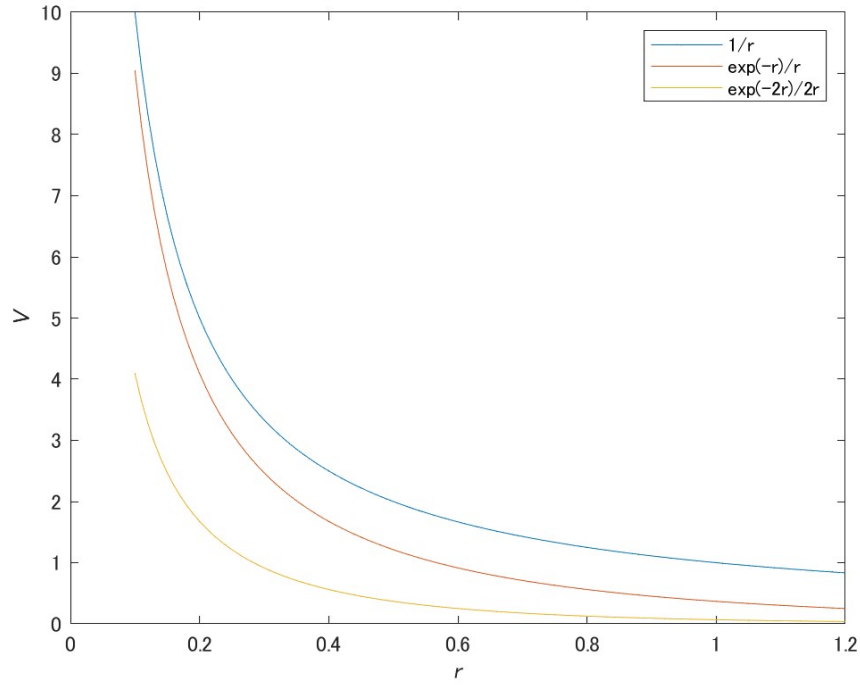


図 1: 湯川ポテンシャルと Coulomb ポテンシャルの比較

<sup>a</sup>湯川秀樹 (1907-1981)

### 例題 0.2: Rutherford 散乱 (Griffith Example 10.6)

湯川ポテンシャルで  $V_0 = \frac{q_1 q_2}{4\pi\epsilon_0}$ ,  $\mu = 0$  とすると Coulomb ポテンシャル

$$V(r) = \frac{q_1 q_2}{4\pi\epsilon_0} \quad (0.0.26)$$

と一致する．式 (??) に代入して散乱振幅を求める．

$$f(\theta) = -\frac{2m}{\hbar^2 q} \int_0^\infty r \frac{q_1 q_2}{4\pi\epsilon_0 r} \sin qr \, dr \quad (0.0.27)$$

$$= -\frac{2m}{\hbar^2 q} \frac{q_1 q_2}{4\pi\epsilon_0} \int_0^\infty \sin qr \, dr \quad (0.0.28)$$

$$= -\frac{2m}{\hbar^2 q} \frac{q_1 q_2}{4\pi\epsilon_0} \left( -\frac{1}{q} [\cos qr]_0^\infty \right) \quad (0.0.29)$$

$$\simeq -\frac{mq_1 q_2}{2\pi\epsilon_0 \hbar^2 q^2} \quad (0.0.30)$$

$$= -\frac{mq_1 q_2}{8\pi\epsilon_0 \hbar^2 \sin^2 \theta/2} \quad (0.0.31)$$

次に, Born 近似の適用範囲について考える．散乱振幅は

$$f(\theta) = -\frac{1}{4\pi} \int e^{-i\mathbf{k} \cdot \mathbf{r}} \frac{2m}{\hbar^2} V(r) \psi(\mathbf{r}) \, d\mathbf{r} \quad (0.0.32)$$

であり、散乱の波動関数は

$$\psi(\mathbf{r}) = \psi_0(\mathbf{r}) + \int g(\mathbf{r} - \mathbf{r}') V(\mathbf{r}') \psi_0(\mathbf{r}') d\mathbf{r}' + \dots \quad (0.0.33)$$

である。この波動関数を

$$\psi(\mathbf{r}) \simeq \psi_0(\mathbf{r}) \quad (0.0.34)$$

と近似するのが第 1Born 近似であった。この近似がうまくいく、つまり、

$$\int e^{-i\mathbf{k} \cdot \mathbf{r}} \frac{2m}{\hbar^2} V(\mathbf{r}) \psi(\mathbf{r}) d\mathbf{r} \quad (0.0.35)$$

を正しく評価するには、 $V(\mathbf{r}) \neq 0$  となる  $r \simeq 0$  で、

$$\psi(\mathbf{r}) \simeq \psi_0(\mathbf{r}) \quad (0.0.36)$$

と近似できる必要がある。

$r \simeq 0$  で式 (??) の第 1 項がそれ以外の項より十分大きければいいため、

$$|\psi_0(\mathbf{0})| \gg \left| \int g(\mathbf{0} - \mathbf{r}') V(\mathbf{r}') \psi_0(\mathbf{r}') d\mathbf{r}' \right| \quad (0.0.37)$$

これを整理すると、

$$|e^{i\mathbf{k} \cdot \mathbf{z}}| \gg \left| \int -\frac{2m}{\hbar^2} \frac{e^{i\mathbf{k} \cdot \mathbf{r}'}}{4\pi r'} V(\mathbf{r}') e^{i\mathbf{k} \cdot \mathbf{r}'} d\mathbf{r}' \right| \quad (0.0.38)$$

$$1 \gg \frac{m}{2\pi\hbar^2} \left| \int \frac{e^{i\mathbf{k} \cdot \mathbf{r}'}}{r'} V(\mathbf{r}') e^{i\mathbf{k} \cdot \mathbf{r}'} d\mathbf{r}' \right| \quad (0.0.39)$$

を得る。これが第 1Born 近似が有効であるための条件じゃ。

### 例題 0.3: Born 近似の適用条件

ポテンシャル

$$V(r) = \begin{cases} -V_0 & (r \leq a) \\ 0 & (r \geq a) \end{cases} \quad (0.0.40)$$

による散乱を考える。Born 近似の適用条件 (??) より、

$$1 \gg \frac{m}{2\pi\hbar^2} \left| \int \frac{e^{i\mathbf{k} \cdot \mathbf{r}'}}{r'} V_0 e^{i\mathbf{k} \cdot \mathbf{r}'} d\mathbf{r}' \right| \quad (0.0.41)$$

$$= \frac{mV_0}{2\pi\hbar^2} \left| \int e^{i\mathbf{k} \cdot \mathbf{r}'} e^{i\mathbf{k} \cdot \mathbf{r}' \cos \theta'} r' \sin \theta' dr' d\theta' d\phi' \right| \quad (0.0.42)$$

$$= \frac{mV_0}{2\hbar^2 k^2} |e^{2ika} - 1 - 2ika| \quad (0.0.43)$$

を得る<sup>a</sup>。これを低エネルギー散乱と高エネルギー散乱に場合分けして見積もる。

(i) 低エネルギー散乱 ( $ka \ll 1$ )

$$|e^{2ika} - 1 - 2ika| \simeq \left| \left( 1 + 2ika + \frac{1}{2}(2ika)^2 \right) - 1 - 2ika \right| \quad (0.0.44)$$

$$= 2k^2 a^2 \quad (0.0.45)$$

より、適用条件は

$$1 \gg \frac{mV_0}{2\hbar^2 k^2} 2k^2 a^2 = \frac{mV_0 a^2}{\hbar^2} \quad (0.0.46)$$

である。つまり、ポテンシャルの大きさ  $V_0$  または半径  $a$  が小さい時に近似が有効であることがわかる。  
(ii) 高エネルギー散乱 ( $ka \gg 1$ )

$$|e^{2ika} - 1 - 2ika| \simeq 2ka \quad (0.0.47)$$

より、適用条件は

$$1 \gg \frac{mV_0a}{\hbar^2k} \quad (0.0.48)$$

である。 $k \rightarrow \infty$  に対して近似が成立することがわかる。つまり、Born 近似は高エネルギー粒子に対して常によい近似であることがわかる。

---

<sup>a</sup> 「試験に出そうな計算。」